

اثر_ جو_ زمین بر شکل و اندازه ی ظاهری ی اجسام^۱

X1-018 (2003/08/28)

mamwad@mailaps.org

محمد خرمی

اثر_ شکست_ نور در جو_ زمین بر اندازه و شکل_ ظاهری ی اجسام بررسی می شود. نشان داده می شود این پدیده که اجسام در نزدیکی ی افق بزرگتر می نمایند، نه یک پدیده ی فیزیکی بل که یک پدیده ی روان‌شناختی است، اما این پدیده که اجسام در نزدیکی ی افق پخ می نمایند، فیزیکی است.

۰ مقدمه

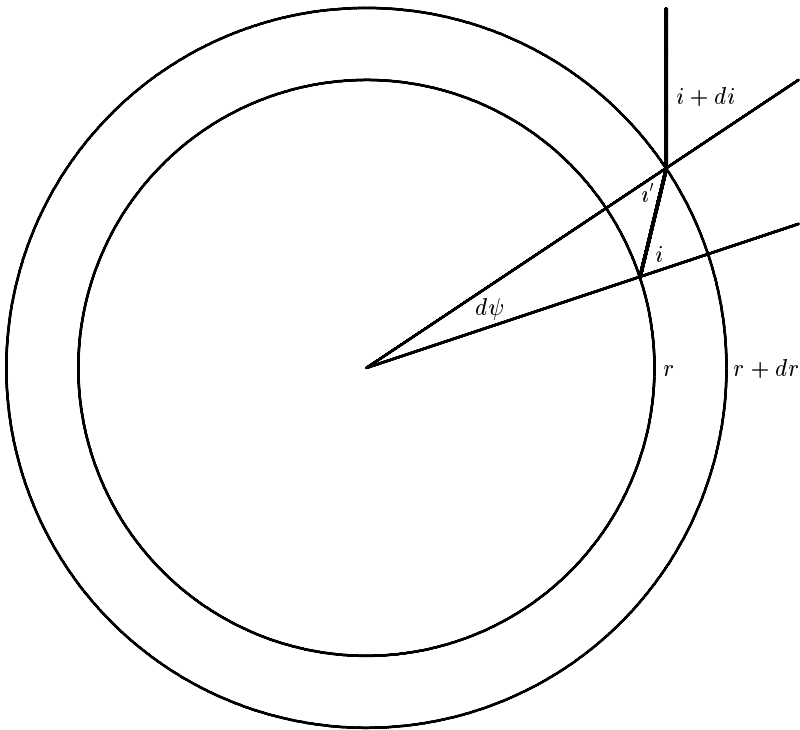
چگالی ی جو_ زمین یک نواخت نیست. به همین خاطر نوری که وارد_ جو_ زمین می شود می شکند و این شکست، بر اندازه و شکل_ ظاهری ی اجسام (از جمله ماه و خورشید) متاثر است. جهت_ مثبت_ محور_ ٪ را جهت_ ساعی در نقطه ی مشاهده در سطح_ زمین و به طرف_ بیرون می کیریم. هر جهت را می شود با (ϕ, θ) مشخص کرد، که زاویه‌ها ی مختصات_ کروی با این محور_ ٪ و به مرکز_ نقطه ی مشاهده اند. به خاطر_ شکست_ نور در جو، پرتویی که ظاهراً از جهت_ (ϕ, θ) می آید، در واقع از جهت_ (θ_0, ϕ_0) آمده است. با معلوم بودن_ ضریب شکست در جو، بسته گی ی ϕ_0 به (θ_0, ϕ) به دست می آید. از اینجا می شود اندازه (ی زاویه‌ای) ی و شکل_ واقعی جسم را بر حسب_ مختصات_ ظاهری ی آن به دست آورد. به ویژه، می خواهیم بینیم پدیده ی درشت دیدن_ ماه و خورشید در نزدیکی ی افق، و بیضی دیدن_ قرص_ ماه و خورشید در نزدیکی ی افق، فیزیکی (ناشی از شکست_ نور) است یا روان‌شناختی.

در یک مدل_ ساده برا ی جو، فرض می کنیم چگالی ی جو تابع_ فقط ارتفاع (یا فاصله تا مرکز_ زمین) است. از اینجا نتیجه می شود زاویه‌ها ی سمتی ی ϕ و θ_0 برابر اند:

$$\phi_0 = \phi, \quad (1)$$

و θ_0 هم تابع_ θ است. با به دست آوردن_ بسته گی ی θ_0 به θ ، شکل و اندازه ی زاویه‌ای ی واقعی ی

^۱ این مقاله، با اجازه ی نویسنده، از منزلگاه_ نویسنده برداشته شده است، و همه ی حقوق_ آن برا ی نویسنده محفوظ است.



شکل ۱

هر جسم بر حسب مشخصات ظاهری‌ی آن به دست می‌آید. اگر اندازه‌ی زاویه‌ای‌ی جسم - موردنظر کوچک باشد، آن‌گاه رابطه‌ی مشخصه‌ها‌ی ظاهری واقعی به فقط زاویه‌ی جهت مشاهده‌ی جسم با جهت روبه‌بالا بسته‌گی دارد.

۱ مسیر نور در جو

زمین را یک کره‌ی کامل به شعاع R می‌گیریم، و فاصله‌ی هر نقطه در جو با مرکز زمین را با r و ضریب شکست در جو را با $n(r)$ نشان می‌دهیم. مشخصات کروی‌ی (r, ψ, ϕ) را با همان محور z که در بخش قبیل تعریف شد، اما با مبدئی منطبق بر مرکز زمین در نظر می‌گیریم. مسیر یک باریکه‌ی نور در جو را با (r, ψ) نشان می‌دهیم. (با فرض‌ی که درباره‌ی ضریب شکست شد، ϕ مستقل از r است). به این ترتیب، θ برابر است با زاویه‌ی باریکه در $R = r$ ، با محور z ؛ و θ_0 برابر است با مقدار ψ در حد $r \rightarrow \infty$. زاویه‌ی باریکه با جهت شعاعی را با α نشان می‌دهیم. شکل ۱ هندسه‌ی شکست نور را نشان می‌دهد.

از قانون سُنیل [a] – دَكَرت [b]

$$\frac{\sin(i + di)}{\sin i'} = \frac{n}{n + dn}. \quad (2)$$

همچنین، از روی شکل ۱ دیده می‌شود

$$i' = i - d\psi, \quad (3)$$

و

$$\begin{aligned} r d\psi &= (\tan i') dr, \\ &= (\tan i) dr. \end{aligned} \quad (4)$$

رابطه‌ها ی اخیر، تا مرتبه i یک درست است. از این‌جا،

$$\frac{\sin i + (\cos i) di}{\sin i - r^{-1}(\cos i \tan i) dr} = 1 - \frac{dn}{n}, \quad (5)$$

یا

$$(\cot i) di + \frac{dr}{r} + \frac{dn}{n} = 0, \quad (6)$$

که نتیجه می‌دهد

$$n r \sin i = C. \quad (7)$$

مقدار C ثابت است. از ترکیب (4) با (7)، دیده می‌شود

$$\frac{d\psi}{dr} = \frac{\frac{C}{nr^2}}{\sqrt{1 - \frac{C^2}{n^2 r^2}}}, \quad (8)$$

یا

$$\frac{d\psi}{du} = -\frac{\frac{N \sin \theta_0}{n}}{\sqrt{1 - \left(\frac{N \sin \theta_0}{n} u\right)^2}}, \quad (9)$$

که

$$u := \frac{R}{r},$$

$$N := n(r = R), \quad (10)$$

و ثابت C هم بر حسب N, R , و θ_0 بیان شده است. در $r = R$ (نقطه‌ی مشاهده) ψ صفر است. به این ترتیب،

$$\psi(r \rightarrow \infty) = \int_0^1 du \frac{\frac{N \sin \theta_0}{n}}{\sqrt{1 - \left(\frac{N \sin \theta_0}{n} u\right)^2}}, \quad (11)$$

واز آن‌جا،

$$\theta = \int_0^1 du \frac{\sin \theta_0}{\sqrt{(n/N)^2 - (u \sin \theta_0)^2}}. \quad (12)$$

در محیط‌ها ی رقیق، ضریب شکست به شکل

$$n = 1 + \alpha \rho \quad (13)$$

است، که ρ چگالی و α ثابت‌ی وابسته به جنس محیط است. (اگر ملکول‌ها ی سازنده‌ی محیط دوقطبی‌ی الکتریکی‌ی دائمی داشته باشند، این ثابت به دما هم بسته‌گی دارد). این رابطه وقتی درست است که انحراف ضریب شکست از ۱ کوچک باشد [1]. به این ترتیب،

$$\begin{aligned} \frac{n}{N} &= 1 + \alpha (\rho - \rho_0), \\ &= 1 + \alpha \rho_0 \left(\frac{\rho}{\rho_0} - 1 \right), \end{aligned} \quad (14)$$

که ρ_0 چگالی‌ی هوا در سطح زمین است، و چون بیش‌تر جو از ملکول‌ها ی بدون دوقطبی‌ی دائم ساخته شده، α ثابت فرض شده. عبارت بالا را به این شکل می‌نویسیم.

$$\frac{n}{N} = 1 - \Delta f(u), \quad (15)$$

که

$$\Delta := \rho_0 \alpha = N - 1 = 1 - \frac{1}{N}, \quad (16)$$

و

$$f := 1 - \frac{\rho}{\rho_0}. \quad (17)$$

با استفاده از

$$N = 1.0003, \quad (18)$$

نتیجه می‌شود

$$\Delta = 3 \times 10^{-4}. \quad (19)$$

مقدار f بین ۰ و ۱ است، و

$$\begin{aligned} f(u=0) &= 1, \\ f(u=1) &= 0. \end{aligned} \quad (20)$$

Δ هم ثابتی کوچک است. به این ترتیب، (12) می‌شود

$$\begin{aligned} \theta &= \int_0^1 du \frac{\sin \theta_0}{\sqrt{1 - (u \sin \theta_0)^2 - 2\Delta f(u)}}, \\ &= \int_0^1 du \frac{\sin \theta_0}{\sqrt{1 - (u \sin \theta_0)^2}} + \Delta \sin \theta_0 \int_0^1 du \frac{f(u)}{[1 - (u \sin \theta_0)]^{3/2}}, \\ &= \theta_0 + \Delta \sin \theta_0 \int_0^1 du \frac{f(u)}{[1 - (u \sin \theta_0)]^{3/2}}. \end{aligned} \quad (21)$$

چگالی ی جو، در فاصله ی کوچک ی از سطح زمین (کوچک در مقایسه با شعاع زمین) عملأً صفر می‌شود. بنابراین f یک است، مگر آن که u خیل ی نزدیک به یک باشد. یک تقریب برای این است که نمودار آن را به شکل دو پاره خط بگیریم:

$$f(u) = \begin{cases} 1, & 0 \leq u \leq 1 - \sigma \\ \sigma^{-1}(1-u), & 1 - \sigma \leq u \leq 1 \end{cases}. \quad (22)$$

ثابت σ از مشتق f در $u=1$ به دست می‌آید:

$$f'(1) = -\frac{1}{\sigma}. \quad (23)$$

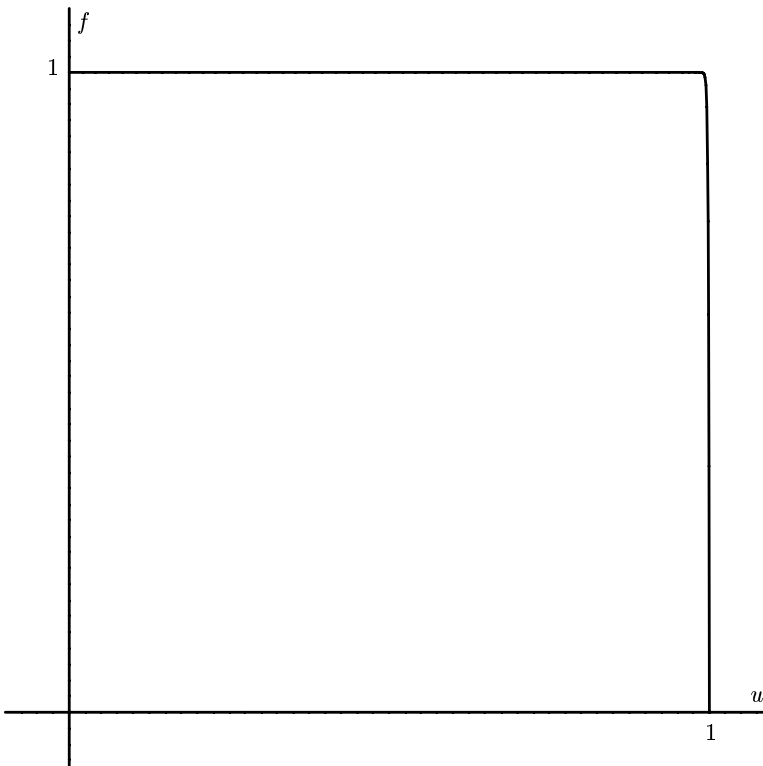
یک مدل برای جو زمین، جو هم دما است. برای چنین جوی،

$$f = 1 - \exp \left[-\frac{1}{\sigma} \left(\frac{1}{u} - 1 \right) \right], \quad (24)$$

(مثلاً [2]). که

$$\sigma := \frac{L}{R} := \frac{k_B T}{g m R}. \quad (25)$$

ثابت بُلتس مان $[c]$ ، T دما ی مطلق جو، g شتاب گرانش، و m جرم ملکولی ی میان گین k_B هوا است. L پارامتری با بعد طول است. با گذاشتن $T = 300$ K، $(N_A k_B) = 8.3 \text{ J}/(\text{molK})$



شکل ۲ نمودار f بر حسب u

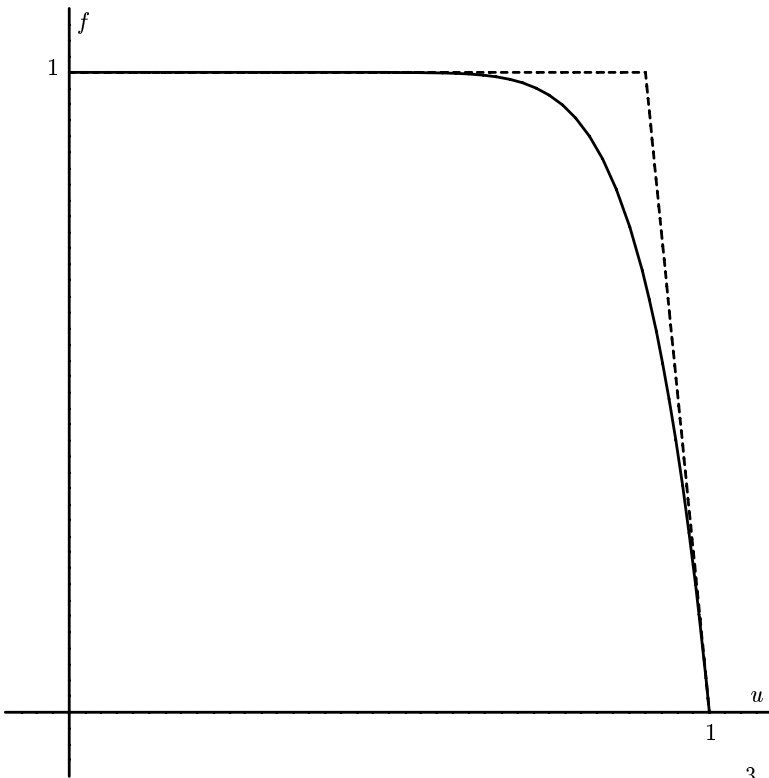
که $N_A = 6400 \text{ km}$ ، $R = 0.029 \text{ g/mol}$ و $g = 9.8 \text{ ms}^{-2}$ است، اگر σ می‌شود

$$L = 8.8 \text{ km}, \\ \sigma = 0.0014, \quad (26)$$

که نشان می‌دهد σ واقعاً کوچک است. در واقع اگر نمودار f بر حسب u ، و تقریب دوپاره خطی ی آن را بکشیم، با این مقدار σ فقط یک مریع دیده می‌شود، شکل ۲. شکل ۳ نمودار اغراق شده ی f و تقریب آن است. در این نمودار، $\sigma = 0.1$ است. چنان که از شکل ۲ بر می‌آید، f با تقریب بسیار خوبی ۱ است. اگر θ_0 خیلی به $(\pi/2)$ نزدیک نباشد، انتگرال دهی رابطه ی (21) در نزدیکی ی $u = 1$ خیلی بزرگ نمی‌شود و می‌شود f را ۱ گرفت. در این صورت،

$$\theta = \theta_0 + \Delta \tan \theta_0. \quad (27)$$

این تقریب زمانی معتبر است که جسم مورد مشاهده خیلی نزدیک به افق نباشد. این تقریب، در واقع



شکل ۳

نمودار f بر حسب u , به ازای $\sigma = 0.1$. خطچین تقریب f با دو مماس بر آن در $u = 0$ و $u = 1$ را نشان می‌دهد.

هم ارز با این است که جو را لایه ای مسطح بگیریم (وته کروی)، که اگر مسیر نور در جو، در مقایسه با شعاع زمین ناچیز باشد، معقول است. دیده می‌شود در این حالت تنها مشخصه ی جو که وارد می‌شود ضریب شکست در سطح زمین است. با محاسبه ی مستقیم شکست نوری که از یک تیغه ی مسطح می‌گذرد، نتیجه می‌شود

$$\sin \theta = N \sin \theta_0. \quad (28)$$

از (16) (و با توجه به کوچکی ی Δ) نتیجه می‌شود

$$N = 1 + \Delta, \quad (29)$$

که از ترکیب (28) با آن،

$$\sin \theta_0 + (\theta - \theta_0) \cos \theta_0 = \sin \theta_0 + \Delta \sin \theta_0, \quad (30)$$

که همان (27) است.

برای جسم‌ها ی نزدیک به افق، تقریب (27) خوب نیست. یک راه استفاده از تقریب (22) است. با جاگذاری ی این عبارت در (21) نتیجه می‌شود

$$\theta = \theta_0 + \Delta \left[\frac{(1-\sigma) \sin \theta_0}{\sqrt{1 - (1-\sigma)^2 \sin^2 \theta_0}} - \frac{(1-\sigma) \sin \theta_0}{\sigma \sqrt{1 - (1-\sigma)^2 \sin^2 \theta_0}} \right. \\ \left. + \frac{1}{\sigma} \tan \theta_0 - \frac{1}{\sigma \sin \theta_0 \cos \theta_0} + \frac{1}{\sigma \sin \theta_0 \sqrt{1 - (1-\sigma)^2 \sin^2 \theta_0}} \right]. \quad (31)$$

از جمله،

$$\theta \left(\theta_0 = \frac{\pi}{2} \right) = \frac{\pi}{2} + \Delta \sqrt{\frac{2-\sigma}{\sigma}}, \quad (32)$$

که با گذاشتن مقادارها ی عددی ی Δ و σ می‌دهد

$$\theta \left(\theta_0 = \frac{\pi}{2} \right) = \frac{\pi}{2} + 0.01. \quad (33)$$

شکل ۴ نمودار $\theta(\theta_0 - \theta)$ بر حسب θ را نشان می‌دهد.

2 اندازه‌ی زاویه‌ای ی ظاهری و اندازه‌ی زاویه‌ای ی واقعی

دو بردار یکه ی \hat{n} و \hat{n}' با جهت‌ها ی بهتریب (ϕ, θ) و (ϕ', θ') را در نظر بگیرید. داریم

$$\cos \gamma = \hat{n} \cdot \hat{n}', \\ = \cos \theta \cos \theta' + \sin \theta \sin \theta' \cos(\phi - \phi'), \quad (34)$$

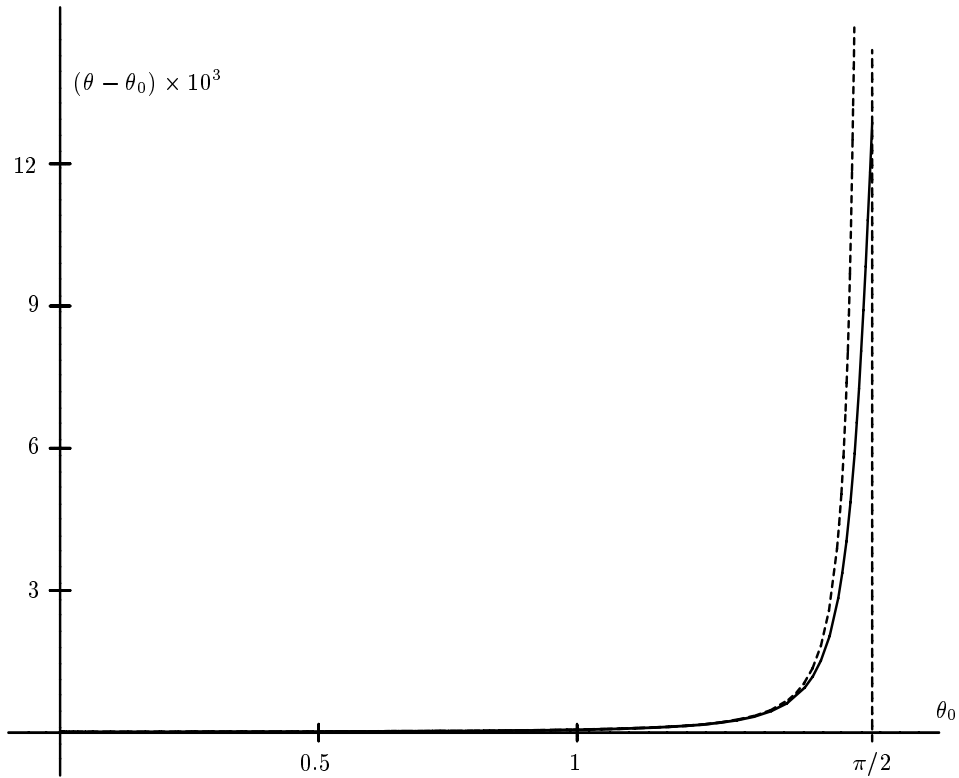
که γ زاویه ی این دو بردار با هم است. اگر مقادارها ی

$$\delta \theta := \theta' - \theta, \\ \delta \phi := \phi' - \phi \quad (35)$$

کوچک باشند (جهت‌ها ی این دو بردار به هم نزدیک باشند) (34) را می‌شود ساده‌تر کرد:

$$\cos \gamma = \cos(\theta' - \theta) + \sin \theta \sin \theta' [\cos(\phi' - \phi) - 1], \\ \approx 1 - \frac{(\delta \theta)^2}{2} - \frac{\sin^2 \theta (\delta \phi)^2}{2}, \quad (36)$$

که نتیجه می‌دهد



شکل ۴ نمودار $(\theta - \theta_0) \times 10^3$ بر حسب θ/θ_0 . خط‌چین نمودار $\Delta \tan \theta_0$ بر حسب θ_0 است.

$$\gamma \approx \sqrt{(\delta\theta)^2 + \sin^2 \theta_0 (\delta\phi)^2}. \quad (37)$$

(این نتیجه را با استفاده از شکل ۴ عنصر طول در مختصات کروی هم می‌شد به دست آورد.) از اینجا رابطه‌ی اندازه‌ی زاویه‌ای ی ظاهری و اندازه‌ی زاویه‌ای ی واقعی به دست می‌آید:

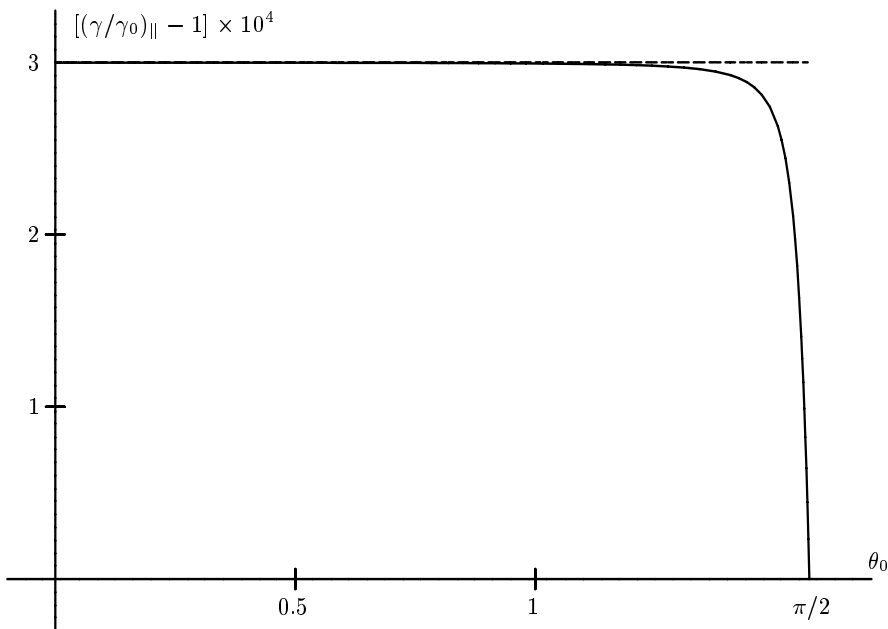
$$\begin{aligned} \frac{\gamma_0}{\gamma} &= \frac{\sqrt{(\delta\theta_0)^2 + \sin^2 \theta_0 (\delta\phi_0)^2}}{\sqrt{(\delta\theta)^2 + \sin^2 \theta_0 (\delta\phi)^2}}, \\ &= \frac{\sqrt{(\delta\theta_0)^2 + \sin^2 \theta_0 (\delta\phi_0)^2}}{\sqrt{(\mathrm{d}\theta/\mathrm{d}\theta_0)^2 (\delta\theta_0)^2 + [(\sin^2 \theta)/(\sin^2 \theta_0)] \sin^2 \theta_0 (\delta\phi_0)^2}}, \end{aligned} \quad (38)$$

در اینجا از این استفاده شده که ϕ_0 و ϕ برابرند. از جمله،

$$\left(\frac{\gamma_0}{\gamma} \right)_\parallel = \frac{\sin \theta_0}{\sin \theta}, \quad (39)$$

$$\left(\frac{\gamma_0}{\gamma}\right)_\perp = \frac{d\theta_0}{d\theta}, \quad (40)$$

که \parallel و \perp ، متناظر اند با بهترتیب حالتی که پاره خط مورد مشاهده موازی با افق یا عمود بر آن است. شکل ۵ نمودار $[(\gamma/\gamma_0)_{\parallel} - 1]$ بر حسب θ_0 است. از این نمودار دیده می‌شود برا ی پاره خطهاي موازی با افق، اندازه‌ی زاویه‌ای ظاهری کوچک‌تر از اندازه‌ی زاویه‌ای واقعی است، اما اختلاف نسبی ی این اندازه‌ها از مرتبه 10^{-4} است.

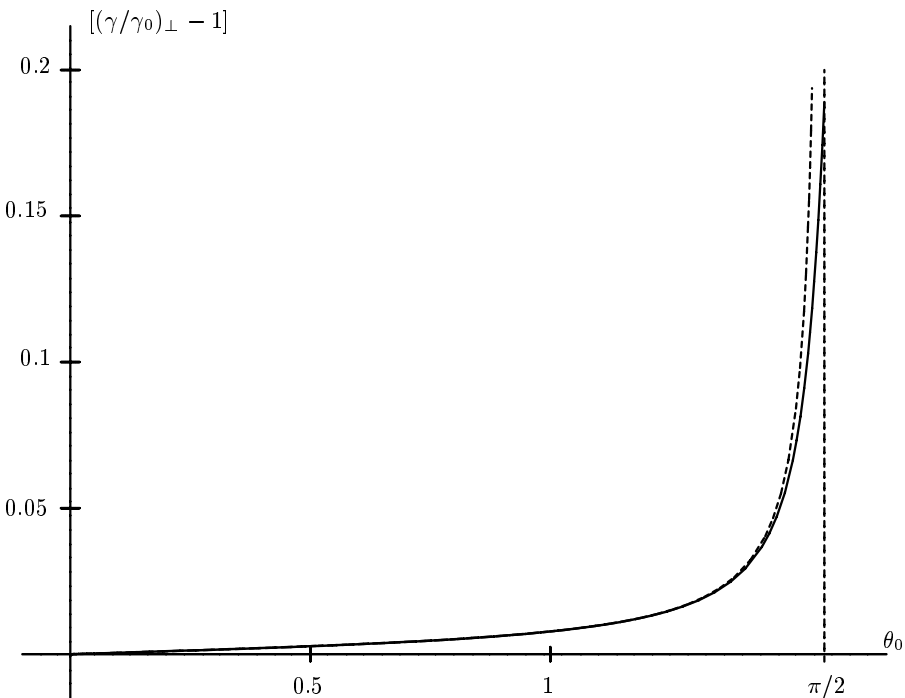


شکل ۵

نمودار $[(\gamma/\gamma_0)_{\parallel} - 1]$ بر حسب θ_0

شکل ۶ نمودار $[(\gamma/\gamma_0)_{\perp} - 1]$ بر حسب θ_0 است. از این نمودار دیده می‌شود برا ی پاره خطها ی عمود بر افق هم، اندازه‌ی زاویه‌ای ظاهری کوچک‌تر از اندازه‌ی زاویه‌ای واقعی است. اما این بار اختلاف نسبی ی این اندازه‌ها، در نزدیکی افق چشمگیر است:

$$\left(\frac{\gamma}{\gamma_0}\right)_{\perp} \left(\theta_0 = \frac{\pi}{2}\right) = 1 + 0.2. \quad (41)$$



شکل ۶

نمودار $[(\gamma/\gamma_0)_\perp - 1]$ بر حسب θ_0 . خط چین نمودار $(1 + \tan^2 \theta_0)^{\Delta}$ بر حسب θ_0 است.

3 نتیجه

از نمودارها بخش پیش، دیده می‌شود

- اندازه‌ی زاویه‌ای ی ظاهری ی هر جسم، همواره کوچک‌تر از اندازه‌ی زاویه‌ای ی واقعی ی آن است.
- این اختلاف‌اندازه، جز زمان ی که جسم نزدیک به افق است ناچیز است.

- تغییراندازه‌ی ظاهری، در راستا‌ی موازی با افق همیشه ناچیز است، حتا وقتی جسم نزدیک افق باشد.

به این ترتیب، این که ماه و خورشید در نزدیکی افق بزرگ‌تر به نظر می‌رسند، یک پدیده روان‌شناسی است ته فیزیکی [3]. اما اندازه‌ی زاویه‌ای ظاهری ی ماه و خورشید در راستا‌ی عمود بر افق، واقعاً حدود ۲۰٪ کم‌تر از اندازه‌ی زاویه‌ای واقعی است. پس این که ماه و خورشید، در نزدیکی افق پنج می‌نمایند، یک پدیده فیزیکی است. ضمناً برا ی تحلیل این مسئله، فقط دو داده لازم است: Δ و σ . اول ی برابر است با ضریب‌شکست جو در سطح زمین منها ی یک، و دوم ی برابر است با ارتفاع مشخصه‌ی افت چگالی ی جو در سطح زمین تقسیم بر شعاع زمین.

4 مرجع‌ها

- [1] John David Jackson; “Classical electrodynamics”, 3rd edition (John Wiley & Sons, 1998) chapter 4
- [2] S. P. Strelkov; “Mechanics”, 3rd edition (Mir Publishers, 1969) section 97
- [3] Lloyd Kaufman & James R. Kaufman; “Explaining the moon illusion”, Proceedings of the National Academy of Sciences **97** (2000) 500

5 اسم‌های خاص

- [a] Snell
- [b] Descartes
- [c] Boltzmann
- [d] Avogadro